

# بررسی تجربی تأثیر نسبت مواد سازنده، ترکیب سرباره - زئولیت به عنوان پیش‌ماده و نیز پیش‌ماده الیاف امباس در مشخصات مقاومتی ملات‌های ژئوپلیمری

وحید قدکی (کارشناس ارشد)

محمد کاظم شربتدار<sup>\*</sup> (استاد)

دانشکده‌ی مهندسی عمران، دانشگاه سمنان

در نوشتار حاضر، تأثیر نسبت مواد سازنده، ترکیب سرباره و زئولیت به عنوان پیش‌ماده و نیز افزودن الیاف امباس در مشخصات مکانیکی ملات ژئوپلیمری، به صورت آزمایشگاهی با ۱۸ نمونه و ۱۸ طرح اختلاط بررسی شدند و پارامترهای نسبت ماده به سرباره، نسبت سیلیکات‌سدیم به هیدروکسید‌سدیم، غلظت محلول، الیاف امباس و در جایگزینی بخشی از سرباره با زئولیت، پارامترهای موردنظر بودند. نتایج آزمایشگاهی نشان دادند که کاهش نسبت ماده به سرباره و کاهش نسبت سیلیکات‌سدیم به هیدروکسید‌سدیم و افزایش غلظت هیدروکسید‌سدیم و الیاف امباس به ترتیب باعث افزایش تا ۶، ۲۶ و ۲۰٪ رشد را در درصدی مقاومت فشاری شدند. مدول گستاختگی نمونه‌های الیافی، تا ۳۸٪ رشد را در مقایسه با نمونه‌های بدون الیاف تجربه کرد. با وجود کاهش قابل توجه خواص مقاومتی ملات ژئوپلیمری حاوی زئولیت، در پروژه‌هایی که هدف‌شان، کسب مشخصات مقاومتی بسیار بالایی نباشد، می‌توان با توجه به تعداد زیاد معادن زئولیت طبیعی موجود در کشورمان (ایران) و در نتیجه دسترسی آسان به زئولیت طبیعی، به صورت ترکیبی از زئولیت و سرباره استفاده کرد.

v.ghadaki@semnan.ac.ir  
msharbatdar@semnan.ac.ir

واژگان کلیدی: ملات ژئوپلیمری، سرباره‌ی کوره‌ی بلند، زئولیت، الیاف امباس، مشخصات مکانیکی.

## ۱. مقدمه

اتصال به یکدیگر کنند و ساختارهای پلیمری سه‌بعدی تشکیل شوند.<sup>[۱-۵]</sup> حضور سیلیکات‌محلول به تنهایی برای ایجاد مواد سخت‌شونده از نظر شیمیایی کافی نیست و وقتی محلول‌های پایدار سیلیکات و آلومینات در تماس با هم قرار می‌گیرند، محلول آلومینوسیلیکاتی، برای تشکیل ژئوپلیمری با زئولیت به صورت ژل می‌شود یا رسوب می‌دهد.<sup>[۶]</sup> در فرایند تولید بتون ژئوپلیمری، به طور کلی از ۴ ماده‌ی اصلی پیش‌ماده یا ماده‌ی پایه، محلول کتنه‌ی قلیایی و سیلیکاتی، آب، شن و ماسه استفاده می‌شود. خاکستر بادی در دو گروه F و C و سرباره‌ی کوره‌ی بلند که مقادیر قابل ملاحظه‌ی اکسیدکلسیم و اکسیدآهن دارد، به عنوان یکی از مواد فراوان پیش‌ماده‌ها استفاده می‌شود.<sup>[۷-۱۰]</sup>

از سال ۱۹۸۵، کاربردهای بالقوه‌ی سیمان ژئوپلیمری و استفاده از سرباره‌ی کوره‌ی ذوب آهن و خاکستر بادی یا خاکستر پوسته‌ی برنج به عنوان ماده‌ی چسباننده مطرح شده است.<sup>[۱۱]</sup> از هیدروکسید‌سدیم، هیدروکسیدپتاسیم، سیلیکات‌سدیم، سیلیکات‌پتاسیم، سدیم‌کربنات و هیدروکسیدکلسیم به عنوان محلول فعال‌ساز قلیایی استفاده می‌شود

بنابراین به توسعه‌ی پایدار و زیرساخت‌های عمرانی باعث افزایش مصرف سیمان می‌شود و تاکنون از سیمان برای ساخت بن‌به عنوان راه حل اقتصادی و مقاومتی استفاده شده است، ولی کم کم به مشکلی بزرگ برای محیط زیست میدل شده و سهم عمده‌ی در انتشار گاز CO<sub>2</sub> در جو داشته است.<sup>[۱۲]</sup> کاهش تمايل به استفاده از منابع طبیعی و کاهش تولید دی‌اکسیدکربن در فرایند تولید سیمان و کسب مقاومت و گيرش اوليه‌ی سریع ۲۴ ساعت اولیه (معادل ۷۰٪ مقاومت نهایی)، از دلایل اهمیت مواد ژئوپلیمری به عنوان جایگزین بن است.<sup>[۱۳]</sup>

مواد خام در دمای تا ۱۵۰ درجه باید پخته شوند، تا فرایند ژئوپلیمریزاسیون انجام شود و ساختار آمورف و به صورت شبکه‌ی از آلومینوسیلیکات‌ها در معرض محلول قلیایی شکل گیرد و اولیگومرهای به اندازه‌ی کافی بزرگ و پایدار شروع به

\* نویسنده مسئول

تاریخ: دریافت ۱۳۹۹/۲/۱۳، اصلاحیه ۳/۱۳۹۹، پذیرش ۲۵/۱/۱۳۹۹.

DOI:10.24200/J30.2020.55729.2770

# Archive of SID

جهت فعالسازی نوعی زوئیلت طبیعی استفاده کردند و به مقاومت فشاری حدود ۳۸ مکاپسکال رسیدند. ویلا و همکارانش [۲۰]، [۲۱] گزارش دادند که ژئوپلیمر ساخته شده با زوئیلت طبیعی مکزیک به عنوان پیش‌ماده و محلول قلایی با مولاریته‌ی هیدروکسیدسدیم برابر ۷ با نسبت سیلیکات‌سدیم به هیدروکسیدسدیم برابر با ۱۰ و دمای نگهداری ۴۰ درجه، تقریباً در همه‌ی سنین ذکر شده، بالاترین مقاومت فشاری را نسبت به سایر نمونه‌ها با نسبت‌ها و دمای‌های نگهداری مقاومت داشته و مقاومت آن از نمونه‌ی ساخته شده با سیمان پرتلندر نوع II که به عنوان نمونه‌ی شاهد در نظر گرفته شده بود، نیز بالاتر بوده است. نتایجی هم از کاربرد زوئیلت مکزیکی برای تولید ژئوپلیمر گزارش شده است. [۲۲]

امروزه از انواع الیاف‌ها با مدول کشسانی و قابلیت انبساط طولی مقاومت برای بهبود خواص بتن معمولی و ژئوپلیمری استفاده می‌شود. در پژوهش دیگری، افزودن الیاف پلی‌پروپیلن تا ۵٪ حجمی، باعث افزایش مقاومت فشاری شد و بیش از آن مقدار، اثری منفی به همراه داشت. [۲۳] مطالعات دیگری نشان داد که افزودن الیاف فولادی به بتن ژئوپلیمری باعث بهبود ۴٪ درصدی مقاومت کشسانی و خمیشی و افزایش مقاومت ضربه نسبت به نمونه‌های بدون الیاف شده است. [۲۴] همچنین عمل آوری حرارتی باعث بهبود خواص مقاومتی بتن‌های ژئوپلیمری مسلح به ماکروالیاف فولادی شده و افزودن الیاف پلی‌پروپیلن، تأثیر چندانی در بهبود مقاومت فشاری نمونه‌ها نداشته است. [۲۵] تو و همکارانش [۲۶] نشان دادند که ترکیب بتن ژئوپلیمری خاکستر بادی با الیاف پلی‌وپین‌الکل، سبب بهبود عملکرد مقاومت‌های فشاری، خمیشی، و کشسانی، نسبت به نمونه‌های شاهد شده است. دالوند [۲۷] نیز از سرباره‌ی کوره‌ی بلند به عنوان پیش‌ماده و هیدروکسیدسدیم و سیلیکات‌سدیم به عنوان محلول فعال‌ساز برای تولید ملات ژئوپلیمری استفاده کرد. وی میکروالیاف فولادی را در دو درصد جرمی ۰/۵٪ و ۱٪ به ملات افزود. مقاومت فشاری ملات ژئوپلیمری، تقریباً نزدیک به ۲ برابر نمونه‌های ساخته شده با سیمان پرتلندر معمولی گزارش شد. همچنین مقاومت فشاری نمونه‌های الیافی با ۱٪ حجمی الیاف، نسبت به نمونه‌های ژئوپلیمری بدون الیاف، نزدیک به ۷٪ بیشتر شد. نوشیمنی و همکارانش [۲۸] به آنالیز مشخصات ساختاری و ماده‌بی‌تن ژئوپلیمری بر پایه خاکستر بادی و سرباره‌ی کوره‌ی بازالت شده بود، پرداختند و دریافتند که نمونه‌های حاوی الیاف درشت پلی‌الفن، بیشترین انرژی گسیختگی را دارند. طبق مطالعات صورت گرفته توسط دیگر پژوهشگران، مدول کشسانی پایین الیاف به کار رفته در مخلوط و همچنین افزایش میزان حفره‌ها در داخل بتن و اطراف الیاف می‌توانند از دلایل افت مقاومت فشاری نمونه‌های مسلح به الیاف باشند. [۲۹] در کشور چین، [۳۰] مطالعاتی در مورد خصوصیات مکانیکی و ساز و کار ملات ژئوپلیمری بر پایه‌ی خاکستر بادی و سرباره‌ی کوره‌ی بازالت می‌توانند مشخصات مکانیکی را در سنین شد که الیاف پلی‌پروپیلن و الیاف بازالت می‌توانند مشخصات مکانیکی را در سنین بالا بهبود بخشند و الیاف فولادی نیز آثار خوبی در سختی و تقویت ژئوپلیمر دارد. طبق نتایج به دست آمده، مقدار بهبیه‌ی الیاف بازالت، برابر با ۰/۳٪ تا ۰/۵٪ است و در صورت تجاوز از مقدار اخیر، الیاف به گوله شدن گرایش پیدا می‌کنند. همچنین الیاف PP، آثار مثبتی در بهبود طاقت دارند و این موضوع با بالا رفتن مقدار الیاف در ملات، بیشتر خود را نشان می‌دهد. [۳۱]

به دلیل ضرورت کاهش مصرف سیمان معمولی و یافتن جایگزینی برای این ماده‌ی پر مصرف، هدف اصلی نوشتار حاضر، یافتن چند طرح اختلاط ملات ژئوپلیمری بر پایه‌ی سرباره و ترکیب با زوئیلت برای کاربردهای مختلف و اصلاح مشخصات مقاومتی ملات مخصوصاً مقاومت فشاری با تغییر پارامترهای اصلی و تأثیرگذار بوده و تأثیر افزودن الیاف در مقاومت فشاری و مدول گسیختگی نیز

و دما، کاتیون‌ها و pH به عنوان عوامل مؤثر در فرایند تراکم هستند. [۳۲]

در بحث فعالسازی پیش‌ماده باید pH محلول بالا نگه داشته شود و از محلول‌های قلایی که حاوی یون‌های OH<sup>-</sup> هستند، استفاده شود. [۱۵] عوامل گوناگونی همچون نوع سرباره، نوع محلول فعال‌ساز، مقدار و غلظت محلول فعالساز نوع ماده‌ی قلایی، پلین با انداره‌ی میزان ریز بودن دانه‌های پیش‌ماده، افزودنی‌های شیمیایی و معدنی و زمان اختلاط و وجود CaO در کارابی و روند گیرش خمیر سیمان ژئوپلیمری تازه تأثیرگذار است. [۱۶] مطالعات زیادی در سال‌های اخیر در زمینه‌ی مواد و تولید و خواص ملات ژئوپلیمری انجام شده است. خاکستر بادی به عنوان پیش‌ماده در خیلی از پژوهش‌ها استفاده شده و نتایج نشان داده است که با افزایش غلظت هیدروکسیدسدیم و نسبت سیلیکات‌سدیم به محلول هیدروکسیدسدیم، مقاومت فشاری ۷ روزه‌ی بتن‌های ژئوپلیمری افزایش پیدا کرده است. همچنین نتایج آزمایش‌ها را با توصیه‌ی آین نامه‌ی استرالیا برای بتن ساخته شده با سیمان پرتلندر معمولی مقایسه و مشاهده کردند که در پیشتر موارد، خواص مهندسی بتن ژئوپلیمری، خواص بهتری از خواص پیش‌بینی شده توسط استانداردها مرتبه بـ محلول‌های بتن ساخته شده با سیمان پرتلندر معمولی دارد و همچنین مطالعه‌ی دیگری نشان داد که بتن ژئوپلیمری با خاکستر بادی با محلول قلایی مخلوط شده‌ی هیدروکسیدسدیم و سیلیکات‌سدیم مقاومت بیشتری نسبت به بتن ژئوپلیمری هیدروکسیدسدیم دارد. [۱۷] تاکور و همکارانش [۲۰] مشاهده کردند که مقدار قلایی، مقدار سیلیس، نسبت آب به ژئوپلیمر جامد و نسبت ساسه به خاکستر بادی از مخلوط ژئوپلیمر و پارامترهای متغیر فرایند همچنین زمان عمل آوری و دمای عمل آوری عوامل مؤثر در مقاومت فشاری و شکل‌گیری ریزاساختار ژئوپلیمر هستند. همچنین گزارش شده است که مقاومت فشاری ملات ژئوپلیمر حاوی خاکستر باعث افزایش زمان عمل آوری، دمای استراحت، غلظت محلول هیدروکسیدسدیم افزایش می‌یابد و با افزایش نسبت آب به حجم مواد جامد و میزان مصرف مواد افزودنی کاهش می‌یابد. [۱۸] با مشاهده‌ی نتایج حاصل از آزمایش‌های XRD مشخص شد که هر قدر مولاریته‌ی هیدروکسیدسدیم بیشتر باشد، ژئوپلیمر با پیش‌ماده‌ی متاکاتولن، مقادیر آموف بیشتر دارد و با افزایش غلظت NaOH، مقاومت فشاری و خمیشی نمونه‌ها در سن ۷ روزه افزایش می‌یابد. [۱۹]

از دنوع پوزولان طبیعی پومیس به عنوان منبع آلومینوسیلیکاتی یا پیش‌ماده و از NaOH و KOH به عنوان محلول فعال‌کننده و به صورت جداگانه در تولید ژئوپلیمر استفاده شده است. عمل آوری به دو روش داخل پلاستیک و داخل اوتکلاو انجام شد. مشاهدهات نشان داد که نمونه‌های فعال شده به وسیله‌ی KOH، مقاومت فشاری بیشتری نسبت به نمونه‌های فعال شده با NaOH داشتند. [۲۱] عملکرد مکانیکی و دوام بتن تولیدشده با پیش‌ماده‌ی سرباره‌ی گرانوله شده کوره‌ی بلند با بتن تهیه شده با سیمان پرتلندر معمولی مقایسه و مشاهده شد که بتن با سرباره‌ی ژئوپلیمری جذب آب کمتری دارد و مقاومت فشاری و دوام نمونه‌های ژئوپلیمری، نسبت به بتن تهیه شده با چندین بیشتر است. [۲۲] نجیمی و غفوری [۲۳] از پوزولان طبیعی و سرباره‌ی کوره‌ی بلند به صورت تکیبی به عنوان پیش‌ماده و هیدروکسیدسدیم و سیلیکات‌سدیم به عنوان فعال‌کننده استفاده کردند و دریافتند که بتن‌های قلایی‌عال می‌توانند شبیه‌ی حتی بهتر از نمونه‌های ساخته شده با سیمان پرتلندر معمولی عمل کنند و نمونه‌های ساخته شده با نسبت برابر پوزولان طبیعی و سرباره، بهبیه‌ترین طرح اختلاط از بین طرح‌های موجود هستند.

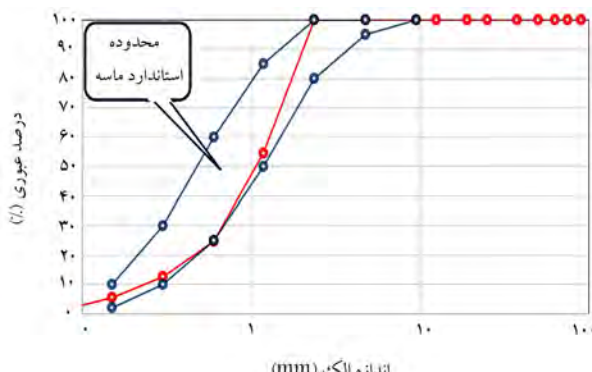
در چندین پژوهش از زوئیلت به عنوان پیش‌ماده برای تولید بتن ژئوپلیمری استفاده شده است، [۲۴] به طوری که از هیدروکسیدکلسیم، سیلیکات‌سدیم و کربنات‌سدیم

جدول ۱. آنالیز شیمیایی ترکیب‌های موجود در سرباره‌ی استفاده شده.

MnO	Cl	Na <sub>2</sub> O	K <sub>2</sub> O	MgO	CaO	Fe <sub>2</sub> O <sub>3</sub>	Al <sub>2</sub> O <sub>3</sub>	SiO <sub>2</sub>	ترکیب شیمیایی
درصد	درصد	درصد	درصد	درصد	درصد	درصد	درصد	درصد	درصد
۱/۵۸	۰/۰۰۲	۰/۶	۰/۶۸	۱۱	۳۷	۱/۲	۱۱/۲	۳۵/۷	۳۵/۷

جدول ۲. آنالیز شیمیایی ترکیب‌های موجود در زئولیت استفاده شده.

LOI	Na <sub>2</sub> O	K <sub>2</sub> O	MgO	CaO	Fe <sub>2</sub> O <sub>3</sub>	Al <sub>2</sub> O <sub>3</sub>	SiO <sub>2</sub>	ترکیب شیمیایی
درصد	درصد	درصد	درصد	درصد	درصد	درصد	درصد	درصد
۸/۴۱	۰/۸۷	۰/۸۵۵	۱/۵۵	۴/۷۱	۱/۴	۱۲/۵۵	۶۸/۲۱	۳۵/۷



شکل ۱. منحنی دانه‌بندی ماسه‌ی به کار رفته در آزمایش براساس استاندارد ملی ایران شماره‌ی ۴۹۷۷.



شکل ۲. الیاف امیاس به کار رفته در ملات ژئوپلیمری.

pH بین ۱۲-۱۳ است، به عنوان یکی دیگر از مواد اصلی تشکیل‌دهنده‌ی محلول فعال‌ساز قلیایی، برای تهیه‌ی ملات ژئوپلیمری استفاده شده است. دو عدد ۲/۵ برای نسبت سیلیکات‌سدیم به هیدروکسید‌سدیم به منظور بررسی مشخصات مکانیکی نمونه‌های ساخته شده با ملات ژئوپلیمری در نظر گرفته شده‌اند. سیلیکات‌سدیم با نسبت SiO<sub>2</sub>/Na<sub>2</sub>O ۲/۲ (اکسیدسیلیس بر اکسیدسدیم) و با غلظت ۴۸٪ و آب ۵۲٪ استفاده شد. از الیاف امیاس که تصویر آن مطابق شکل ۲ بوده و مشخصات آن در جدول ۳ ارائه شده است، به عنوان نوعی الیاف پلیمری اصلاح شده‌ی خالص پلی‌الفن و پلی‌پروپیلن که به صورت تک‌رشته‌ی است، به منظور بهبود خواص مقاومتی ملات ژئوپلیمری در نمونه‌ها استفاده شده است.

بررسی شده است. در راستای رسیدن به اهداف یادشده، مواردی دیگری مانند تأثیر مولاریته، نسبت‌های مختلف بتن ژئوپلیمری در نوشtar حاضر استفاده شده است، که علاوه بر به ارمغان آوردن مشخصات مکانیکی مناسب برای بتن ژئوپلیمری، یک ماده‌ی ارزان و در دسترس است و دارای بلین برابر با ۴۰۰۰ cm<sup>۳</sup>/g بوده و ترکیب‌های شیمیایی آن پس از انجام آنالیز شیمیایی (XRF)، در جدول ۱ ارائه شده است.

## ۲. برنامه‌ی آزمایشگاهی

### ۱.۲. مصالح مصرفی

سرباره‌ی کوره‌ی بلند کارخانه‌ی ذوب آهن اصفهان به عنوان جزء اصلی و پیش‌ماده و یک منبع غنی آلومینوسیلیکاتی در ساخت بتن ژئوپلیمری در نوشtar حاضر استفاده شده است، که اعلاه‌ی بر به ارمغان آوردن مشخصات مکانیکی مناسب برای بتن ژئوپلیمری، یک ماده‌ی ارزان و در دسترس است و دارای بلین برابر با ۲/۷۵۴ g/cm<sup>۳</sup> بوده و ترکیب‌های شیمیایی آن پس از انجام آنالیز شیمیایی (XRF)، در جدول ۱ ارائه شده است. زئولیت یک ماده‌ی معدنی است که عمده‌ی ساختار آن را آلومینوسیلیکات‌ها تشکیل می‌دهند و به صورت شبکه‌ی کریستالی شامل اکسیژن و آلومینیوم یا سیلیس است که به صورت ساختمانی سه‌بعدی در آمده است و خواص فیزیکی و شیمیایی آن بسیار با هم متفاوت هستند. زئولیت به کار رفته در ساخت نمونه‌ها، زئولیت طبیعی و تهیه‌شده از معادن سمنان است. ترکیب‌های شیمیایی زئولیت استفاده شده در نمونه‌ها، پس از انجام آنالیز شیمیایی (XRF)، در جدول ۲ ارائه شده است. آب به کار رفته در تهیه‌ی انواع ملات ساخته شده در پژوهش حاضر آب شرب شهر سمنان بوده است. ماسه‌ی استفاده شده برای ساخت نمونه‌ها، ماسه‌ی معمولی شسته شده و عبوری از الک نمره‌ی ۸ است که اندازه‌ی بزرگ‌ترین دانه‌ی آن برابر با ۲/۳۶ میلی‌متر و درصد جذب آن برابر با ۱/۳۵ بوده است. نمودار دانه‌بندی آن براساس استاندارد ملی ایران به شماره‌ی ۴۹۷۷ و مطابق شکل ۱ است.

از هیدروکسید‌سدیم پرک با چگالی ۲/۱۳ g/cm<sup>۳</sup> و جرم مولی ۴۰/۰ ۱ g/mol به عنوان یکی از مواد اصلی تشکیل‌دهنده‌ی محلول فعال‌ساز قلیایی استفاده شده است. با توجه به اینکه یکی از اهداف پژوهش حاضر، بررسی تأثیر غلظت هیدروکسید‌سدیم در مشخصات مکانیکی ملات ژئوپلیمری است، بنابراین از سه غلظت یا مولاریته متفاوت با مقادیر ۱۵، ۱۲ و ۱۸ استفاده شده است. واکنش انحلال ماده‌ی مذکور درآب، یک واکنش بهشدت گرمایست و سبب تبخیر سریع آب محلول می‌شود. به همین دلیل، به هنگام تهیه‌ی محلول آن، باید ظرف محلول را داخل آب سرد قرار داد تا دمای محلول کاهش یابد و کنترل شود و از تبخیر آب محلول جلوگیری به عمل آید. از سیلیکات‌سدیم که نوعی سیلیکات قلیایی حل شدنی با فرمول شیمیایی (Na<sub>2</sub>SiO<sub>3</sub>) و جرم مولی ۱۲۲/۰ ۷ g/mol

### ۲. مشخصات طرح اختلاط ملات ژئوپلیمری

پژوهش حاضر در سه بخش اصلی دنبال شده است. در بخش اول، سعی شده است تا با ایجاد تغییر در پارامترهای تأثیرگذار در مقاومت فشاری ملات ژئوپلیمری، تأثیر

### جدول ٣. مشخصات مکانیکی الیاف امباس.

مقاييس اسيدي و قليلي	ازدياد طول	درصد	مدول كشسانی	نقطه ذوب	رنگ	قطر	طول	وزن مخصوص
عالی	% ۱۲		۶-۷GPa	۱۷ ° C	خاکستری	۰ / ۳ mm	۳۰ - ۵۰ mm	۰ / ۹۱ g/cm³

### ۳.۲. آزمایش‌ها و روش ساخت و عمل آوری

در این پژوهش، دو پارامتر مقاومت فشاری و مدول گسیختگی (مقاومت خمی) ملات رزولپیمری بررسی شده‌اند. آزمایش مقاومت فشاری، طبق استاندارد ASTM ۳۹ (O) و بر روی نمونه‌های مکعبی به ابعاد  $۵۰ \times ۵۰ \times ۵۰$  میلی‌متر انجام ارتفانه و در ادامه، نتایج به دست آمده بر حسب مکاپاسکال ارائه شده است. آزمایش بعدی، آزمایش مدول گسیختگی (مقاومت خمی) به منظور به دست اوردن مدول گسیختگی نمونه‌های ملات رزولپیمری است که طبق استاندارد ASTM C ۲۹۹-۰۸ و با فرمول  $R = ۲PL/2bd^3$  به دست می‌آید. نمونه‌هایی که برای این منظور آزمایش شدند، تیرهای با ابعاد  $۴۰ \times ۴۰ \times ۱۶۰$  میلی‌متر و دندن.

۴۰۳ روشن ساخت

در مرحله‌ی اول، مواد خشک از جمله پیش‌ماده‌ها، شامل سرباره و یا سرباره و رژویلت به صورت ترکیبی و ماسه به مدت ۶۰ ثانیه به صورت خشک مخلوط شدند تا مخلوط به صورت همگن در آید. در مرحله‌ی دوم، محلول فعال ساز که از اختلاط هیدروکسید سدیم و سیلیکات سدیم که با نسبت‌های مشخص و به مدت ۲۴ ساعت در یک ظرف مختلط بوده‌اند، به مخلوط خشک اضافه شد و پس از ادامه‌ی اختلاط به مدت ۳۰ ثانیه، آب به مخلوط افزوده شد و اختلاط به مدت ۱۵۰ ثانیه دامنه یافت و ملات ژئوبلیمری به دست آمد. برای ساخت ملات ژئوبلیمری الیافی، تفاوت فقط در روند اختلاط بود، که پس از مرحله‌ی اول که اختلاط خشک مواد به مدت ۶۰ ثانیه بود، ایجاد شد. الیاف با درصد حجمی موردنظر، وزن و به مخلوط خشک افزوده شدند و اختلاط الیاف و مخلوط خشک، به مدت ۶۰ ثانیه ادامه یافت و سپس سایر مراحل، مشابه روند ساخت ملات ژئوبلیمری بدون الیاف طی شد.

## ۵.۲. عمل آوری ملات ژئو یلیمیری

روش اتخاذ شده در پژوهش حاضر جهت عمل آوری نمونه‌ها، عمل آوری حرارتی در آون تحت دمای  $60^{\circ}\text{C}$  و به مدت ۲۴ ساعت بود. برای جلوگیری از کاهش رطوبت ملات در معرض حرارت و در نتیجه ایجاد ترک در نمونه‌ها، از سلفون یه منظور پوشاندن سطح نمونه‌ها استفاده شد. بدین ترتیب که قالب‌های حاوی ملات ژوپیمری، قبل از قرار گرفتن در آون، با سلفون پوشانده شدند. پس از پایان عمل آوری با شرایط ذکر شده، نمونه‌ها در محیط آزمایشگاه و دمای معمولی، تا رسیدن به سنین ۷ و ۲۸ روزه نگهداری شدند و سپس تحت آزمایش قرار گرفتند.

٣. تحرر و تحلیل نتایج

در بخش حاضر به ارائه نتایج آزمایشگاهی و بررسی و تحلیل آن‌ها به صورت نمودار، حدود، رداخته شده است. در بخش، او، تأثیر، نسبت ماسه به سربا،

هر یک از پارامترهای مذکور به صورت جداگانه بررسی شود. در اثر ایجاد تغییرات ذکر شده در مقدار و نسبت و غلظت مواد سازنده ملات ژئوپلیمری، ۱۸ طرح اختلاط مختلف به دست آمد. سه پارامتری که دستخوش تغییر شده‌اند، عبارت‌اند از: (الف) غلظت یا مولاریتهٔ محلول هیدروکسید سدیم که برای آن سه غلظت ۱۲ و ۱۵ و ۱۸ در نظر گرفته شده است، (ب) نسبت وزنی ماسه به پیش‌ماده (سرباره) که برای آن سه نسبت ۱/۵، ۲/۵ و ۲/۵ انتخاب شده است، (پ) نسبت محلول سیلیکات‌سدیم به محلول هیدروکسید سدیم در محلول فعال‌ساز که برای آن دو نسبت ۲/۵ در نظر گرفته شده است. نسبت‌های (پیش‌ماده/آب) و (پیش‌ماده/مایع فعال‌ساز) در تمامی طرح‌های اختلاط‌ها ثابت و به ترتیب برابر با ۱۵٪ و ۴٪ در نظر گرفته شدند. در بخش اول، از سرباره فقط به عنوان پیش‌ماده استفاده شد و از هر طرح اختلاط، ۵ نمونهٔ مکعبی با ابعاد (۵۰ × ۵۰ × ۵۰) میلی‌متر جهت آزمایش در سن ۷ روزه و به همین تعداد و ابعاد نمونهٔ جهت آزمایش در سن ۲۸ روزه ساخته شدند که در مجموع، تعداد نمونه‌ها در بخش کنونی به ۱۸۰ عدد رسید. میانگین مقاومت ۵ نمونهٔ ساخته شده از هر طرح اختلاط، به عنوان مقاومت طح در نظر گرفته شد. در جدول ۴، طرح اختلاط نمونه‌های بخش اول و مقادیر مصالح استفاده شده برای ساخت هر طرح اختلاط، به ازاء ۱ مترمکعب ملات ژئوپلیمری ارائه شده است. طرح‌های موجود در بخش اول، بر مبنای نسبت ماسه سرباره، به سه دسته‌ی کلی تقسیم شده‌اند. نام طرح‌ها از یک حرف S که نشانگر پیش‌مادهٔ سرباره (Slag) است و سه عدد بعد از حرف S، تشکیل شده است. عدد اول، نشانگر نسبت وزنی ماسه به سرباره است. عدد دوم، نشانگر مولاریتهٔ هیدروکسید سدیم است و عدد سوم، نسبت وزنی سیلیکات‌سدیم بر هیدروکسید سدیم را در محلول فعال‌ساز نشان می‌دهد. پس از انجام آزمون‌های مقاومت فشاری در سینی ۷ روزه، نتایج به دست آمده تجزیه و تحلیل شدند و تأثیر پارامترهای متغیر در خواص مکانیکی نمونه‌های ملات ژئوپلیمری مشخص شد. در بخش دوم، سه طرح از بخش اول با ویژگی‌های متفاوت از نظر ترکیب‌ها و مقاومت انتخاب شدند و به هر کدام از سه طرح مذکور سه درصد حجمی متفاوت از الیاف امپاس افزوده شد، تا تأثیر آن در مقاومت فشاری و مدول گسیختگی ملات ژئوپلیمری بررسی شود. این سه طرح عبارت‌اند از: ۲/۵ - ۱۲ - ۵/۲S، ۲/۵ - ۱۵ - ۵/۲S و ۲/۵ - ۱۸ - ۵/۱S. الیاف امپاس در سه درصد حجمی ۳/۵٪ و ۷٪ و ۱٪ (معادل ۹/۶٪ و ۳/۷٪، ۳/۱۸٪) به عنوان نمونه‌های شاهد جهت آزمایش خمی و ۴۵٪ نمونهٔ تیر بدون افزوده شد. در مجموع ۱۰۵ نمونه شامل ۴۵ نمونهٔ تیر الیافی و ۱۵ نمونهٔ تیر بدون الیاف به ضلع ۵ سانتی‌متر جهت آزمایش مقاومت فشاری، در بخش دوم ساخته و پس از ۲۸ روز آزمایش شدند. در بخش سوم، طرح اختلاط ۲/۵ - ۱۲ - ۵/۲S از بخش اول انتخاب شد و ۱۵٪ و ۴۵٪ درصد از پیش‌مادهٔ آنکه سرباره است، با زوئلیت جایگزین شد، تا تأثیر استفادهٔ ترکیبی دو پیش‌مادهٔ سرباره و زوئلیت، در مقاومت فشاری و مدول گسیختگی ملات ژئوپلیمری بررسی شود. نام‌های SZ<sup>۱۵</sup>، SZ<sup>۲۰</sup>، SZ<sup>۴۵</sup> برای سه طرح اخیر در نظر گرفته شدند. در بخش حاضر، مجموعاً ۳۰ نمونه شامل ۱۵ نمونهٔ تیر و ۱۵ نمونهٔ مکعبی ساخته شدند.

جدول ۴. طرح اختلاط نمونه‌های ملات ژئوپلیمری بر پایه‌ی سرباره‌ی گروه اول (به ازاء ۱ مترمکعب).

Activator (kg)	Na <sub>2</sub> SiO <sub>4</sub> (kg)	NaOH (kg)	water (kg)	sand (kg)	slag (kg)	mix design name	ss/sh	molarity of NaOH (mol/liter)	Sand Slag
۲۰۷/۴	۱۳۸/۲۷	۶۹/۱۳				S2/۵ - ۱۲ - ۲	۲		
	۱۴۸/۱۴	۵۶/۲۹				S2/۵ - ۱۲ - ۲/۵	۲/۵	۱۲	
	۱۳۸/۲۷	۶۹/۱۳	۷۷/۷۸	۱۲۹۶/۳	۵۱۸/۵	S2/۵ - ۱۵ - ۲	۲		
	۱۴۸/۱۴	۵۶/۲۹				S2/۵ - ۱۵ - ۲/۵	۲/۵	۱۵	۲/۵
	۱۳۸/۲۷	۶۹/۱۳				S2/۵ - ۱۸ - ۲	۲		
	۱۴۸/۱۴	۵۶/۲۹				S2/۵ - ۱۸ - ۲/۵	۲/۵	۱۸	
۲۳۶/۶۲	۱۵۷/۷۵	۷۸/۸۷				S2 - ۱۲ - ۲	۲		
	۱۶۹	۶۷/۶۱				S2 - ۱۲ - ۲/۵	۲/۵	۱۲	
	۱۵۷/۷۵	۷۸/۸۷	۸۸/۷۳	۱۱۸۳/۱	۵۹۱/۵۵	S2 - ۱۵ - ۲	۲		
	۱۶۹	۶۷/۶۱				S2 - ۱۵ - ۲/۵	۲/۵	۱۵	۲
	۱۵۷/۷۵	۷۸/۸۷				S2 - ۱۸ - ۲	۲		
	۱۶۹	۶۷/۶۱				S2 - ۱۸ - ۲/۵	۲/۵	۱۸	
۲۷۵/۴۱	۱۸۳/۶۱	۹۱/۸				S1/۵ - ۱۲ - ۲	۲		
	۱۹۶/۷۲	۷۸/۹۶				S1/۵ - ۱۲ - ۲/۵	۲/۵	۱۲	
	۱۸۳/۶۱	۹۱/۸	۱۰۳/۲۸	۱۰۳۲/۸	۶۸۸/۵۲	S1/۵ - ۱۵ - ۲	۲		
	۱۹۶/۷۲	۷۸/۶۹				S1/۵ - ۱۵ - ۲/۵	۲/۵	۱۵	۱/۵
	۱۸۳/۶۱	۹۱/۸				S1/۵ - ۱۸ - ۲	۲		
	۱۹۶/۷۲	۷۸/۶۹				S1/۵ - ۱۸ - ۲/۵	۲/۵	۱۸	

### ۱.۳ مقاومت فشاری

#### ۱.۱.۳ نتایج گروه اول

نتایج به دست آمده از آزمایش مقاومت فشاری بر روی نمونه‌های مکعبی بخش اول، به تفکیک با بررسی تأثیر هر یک از پارامترهای سه‌گانه‌ی یادشده ارائه شده است. تأثیر نسبت ماسه به سرباره‌ی کوره‌ی بلند در مقاومت فشاری نمونه‌های ۷ و ۲۸ روزه‌ی ملات ژئوپلیمری در جدول‌های ۵ الی ۷ و شکل‌های ۴ و ۵ مشاهده می‌شود. با توجه به شکل‌های ۴ و ۵، مقاومت فشاری با کاهش نسبت ماسه به سرباره از ۵/۲ به ۱/۵ افزایش یافته و با بیشترشدن درصد سرباره‌ی موجود در مخلوط به عنوان چسباننده، مقاومت فشاری افزایش یافته است. همچنین در مولاریته‌ی ۱۲ هیدروکسید سدیم، روند تغییر مقاومت فشاری با تغییر نسبت ماسه به سرباره با شبیه تشدیت همراه بوده است. این روند در مولاریته‌های ۱۵ و ۱۸ هیدروکسید سدیم نسبتاً مشابه و با شبیه کمتری صورت پذیرفته است. بنابراین از نحوی رشد مقاومت در نمودارهای اخیر می‌توان به این نتیجه رسید که تأثیر پارامتر نسبت ماسه به سرباره در مقاومت فشاری، به ویژه در سن ۷ روزه، در مولاریته‌های پایین‌تر هیدروکسید سدیم، بیشتر خود را نشان داده است. لذا می‌توان نتیجه گرفت که اگر در یک پروژه و بنا به دلایلی، امکان افزایش مولاریته‌ی هیدروکسید سدیم بیش از یک مقدار معین فراهم نباشد، می‌توان از راه حل کاهش نسبت ماسه به سرباره در یک مولاریته‌ی پایین هیدروکسید سدیم، به عنوان یک راه جایگزین برای افزایش مقاومت فشاری بهره برد. به طور کلی مقاومت فشاری نمونه‌های مکعبی ۷ روزه، در هر دو نسبت سیلیکات سدیم به هیدروکسید سدیم برابر با ۲ و ۵/۲، با کاهش نسبت ماسه به سرباره از ۵ به ۲



الف) ۷ روزه.



ب) ۲۸ روزه.

شکل ۳. نحوه‌ی شکست فشاری نمونه‌های ژئوپلیمری.

نسبت سیلیکات سدیم به هیدروکسید سدیم، و مولاریته‌ی هیدروکسید سدیم در مقاومت فشاری ۱۸۰ نمونه‌ی مکعبی در قالب ۱۸ طرح اختلاط و در سنین ۷ و ۲۸ روزه بررسی شده است. نحوه‌ی شکست فشاری نمونه‌های ژئوپلیمری در شکل ۳ مشاهده می‌شود. در بخش دوم، تأثیر افزودن الیاف امپاس در سه درصد حجمی متفاوت در مقاومت فشاری و مدل گسیختگی نمونه‌های ملات ژئوپلیمری متعلق به سه طرح اختلاط منتخب از بخش اول بررسی شده است. درنهایت و در بخش سوم، تأثیر جایگزینی درصد های وزنی متفاوت از سرباره‌ی موجود در پیش ماده با زئولیت، در مقاومت فشاری و مدل گسیختگی نمونه‌های ملات ژئوپلیمری مطالعه شده است. نتایج به تفکیک و در دو قسمت مقاومت فشاری و مدل گسیختگی ارائه شده است.

جدول ۵. مقاومت فشاری نمونه‌های بدون الیاف و با الیاف امباس.

مقاومت فشاری نمونه‌های الیافی ۲۸ روزه (MPa)				نام طرح		
درصد جرمی الیاف به کار رفته در نمونه‌ها (%)		طرح مورد استفاده برای افزودن الیاف (%)		روزه ۲۸	روزه ۷	نام طرح
% ۱	% ۰/۷	% ۰/۳۵				
۸۴/۸۷	۷۷/۷۶	۷۵/۸۷	S۲/۵ - ۱۲ - ۲/۵	۷۳/۱۳	۶۸/۲۲	S۲/۵ - ۱۲ - ۲
				۷۴/۶۱	۶۹/۱۳	S۲/۵ - ۱۲ - ۲/۵
				۸۴/۴۲	۸۰/۲۴	S۲/۵ - ۱۵ - ۲
				۷۵/۷۷	۶۸/۷۱	S۲/۵ - ۱۵ - ۲/۵
				۸۶/۹۷	۸۱/۶۶	S۲/۵ - ۱۸ - ۲
				۸۱/۲۰	۸۱/۴۶	S۲/۵ - ۱۸ - ۲/۵
۹۱/۵۵	۸۸/۶۵	۸۶/۲۶	S۲ - ۱۵ - ۲/۵	۸۰/۶۸	۸۴/۶۵	S۲ - ۱۲ - ۲
				۷۷/۱۸	۸۰/۳۳	S۲ - ۱۲ - ۲/۵
				۸۷/۰۷	۸۴/۸۶	S۲ - ۱۵ - ۲
				۸۵/۹۶	۷۹/۴۵	S۲ - ۱۵ - ۲/۵
				۹۲/۵۸	۸۶/۶۵	S۲ - ۱۸ - ۲
				۸۹/۰۸	۸۴/۲۱	S۲ - ۱۸ - ۲/۵
۱۰۰/۲۳	۹۵/۴۶	۹۴/۴۸	S۱/۵ - ۱۸ - ۲	۸۳/۲۶	۸۶/۱۳	S۱/۵ - ۱۲ - ۲
				۸۲/۷۳	۸۲/۳۳	S۱/۵ - ۱۲ - ۲/۵
				۸۸/۷۵	۸۹/۷۷	S۱/۵ - ۱۵ - ۲
				۸۵/۸۶	۸۵/۶۴	S۱/۵ - ۱۵ - ۲/۵
				۹۴/۳۷	۹۰/۵۸	S۱/۵ - ۱۸ - ۲
				۹۱/۴۱	۸۶/۵۸	S۱/۵ - ۱۸ - ۲/۵

جدول ۶. مدول گسیختگی نمونه‌های بدون الیاف و با الیاف امباس.

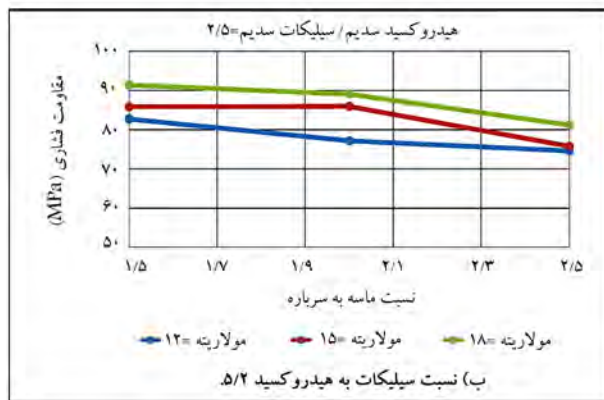
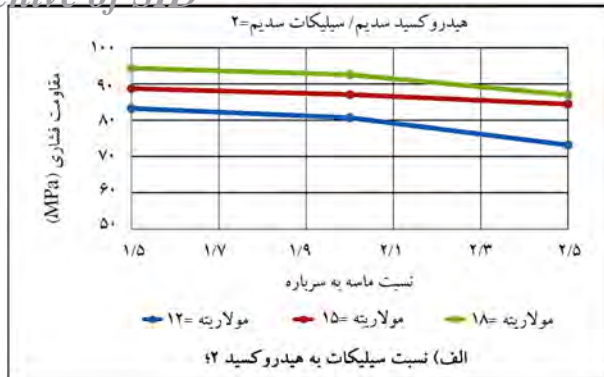
مدول گسیختگی نمونه‌های الیافی ۲۸ روزه (MPa)			نام طرح		
درصد جرمی الیاف به کار رفته در نمونه‌ها (%)		مدول گسیختگی نمونه‌های بدون الیاف ۲۸ روزه (MPa)	نام طرح		
% ۱	% ۰/۷	% ۰/۳۵			
۵/۴۶	۶/۱۴	۶/۲۰	۵/۶۷	S۲/۵ - ۱۲ - ۲/۵	
۴/۹۴	۷/۷۷	۷/۴۴	۵/۴۲	S۲ - ۱۵ - ۲/۵	
۴/۹۶	۵/۵۰	۵/۵۹	۴/۰۴	S۱/۵ - ۱۸ - ۲	

جدول ۷. مقاومت فشاری و مدول گسیختگی نمونه‌های با و بدون زتویلت.

مقادیر فشاری نمونه‌های ۲۸ روزه (MPa)		درصد وزنی زتویلت در کل پیش ماده (%)		نام طرح	
بدون زتویلت	با زتویلت	بدون زتویلت	با زتویلت	بدون زتویلت	با زتویلت
۶۱/۳۲		۴/۸۲		۱۵	
۵۰/۵۸	۷۴/۶۱	۴/۰۲	۵/۶۷	۳۰	S۲/۵ - ۱۲ - ۲/۵
۳۰/۳۴		۲/۳۰		۴۵	

- ۰/۵ در مولاریته‌های ۲۸ روزه، با بالاتر رفتن نسبت ماسه به سرباره در شکل ۶ مشاهده می‌شود. تأثیر مولاریته‌ی هیدروکسیدسدیم در مقاومت فشاری ملات ژئوپلیمری در شکل‌های ۷ و ۸، در سینه ۷ و ۲۸ روزه مشاهده می‌شود. افزایش مولاریته‌ی هیدروکسیدسدیم، منجر به بالارفتن مقاومت فشاری نمونه‌ها شده است و این موضوع

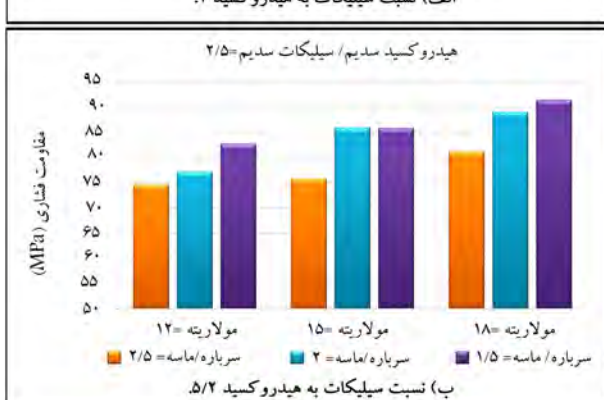
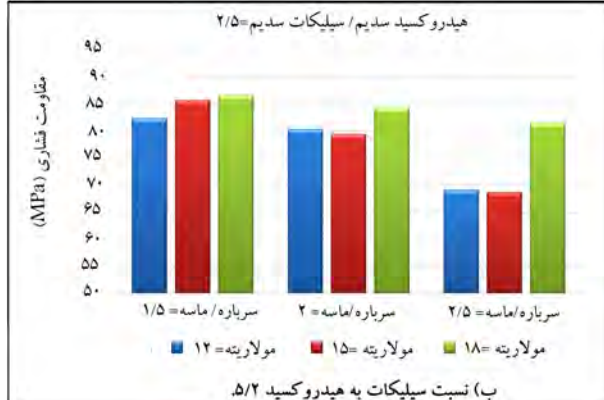
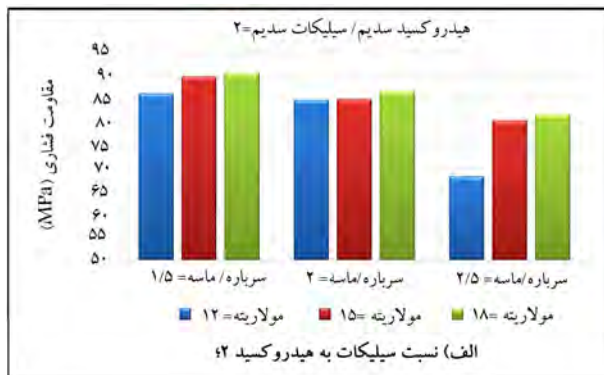
- ۰/۶ و ۰/۲۶٪ و ۱۱٪ با تغییر و افزایش همراه بوده است. در نمونه‌های مکعبی ۲۸ روزه نیز با کاهش نسبت ماسه به سرباره، در همه‌ی غلظت‌های هیدروکسیدسدیم، افزایش مقاومت فشاری دیده شد. روند تغییر شیب و کاهش مقاومت نشاری متوسط



شکل ۶. روند تغییرات مقاومت فشاری ۲۸ روزه‌ی نمونه‌های ملات ژئولپیمری با تغییر در نسبت ماسه به سرباره.



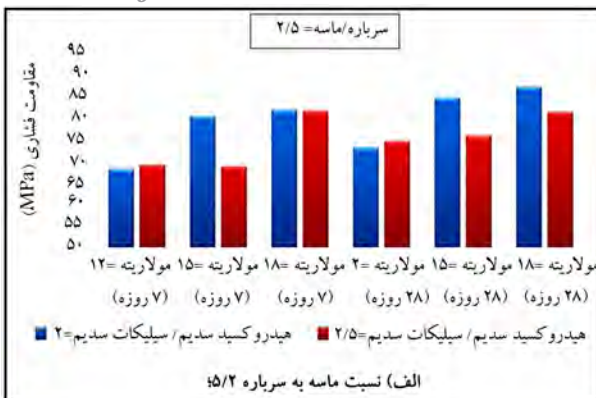
شکل ۴. نمودار بررسی تأثیر نسبت ماسه به سرباره در مقاومت فشاری ۷ روزه‌ی نمونه‌های مکعبی در سه غلظت متفاوت هیدروکسید سدیم.



شکل ۵. نمودار بررسی تأثیر نسبت ماسه به سرباره در مقاومت فشاری ۲۸ روزه‌ی نمونه‌های مکعبی در سه غلظت متفاوت هیدروکسید سدیم.

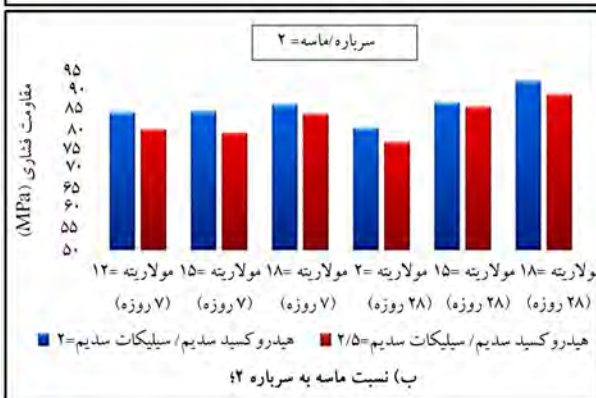
شکل 7. نمودار بررسی تأثیر مولا ریته‌ی هیدروکسید سدیم در مقاومت فشاری ۷ روزه‌ی نمونه‌های مکعبی در سه نسبت متفاوت ماسه به سرباره.

# Archive of SID



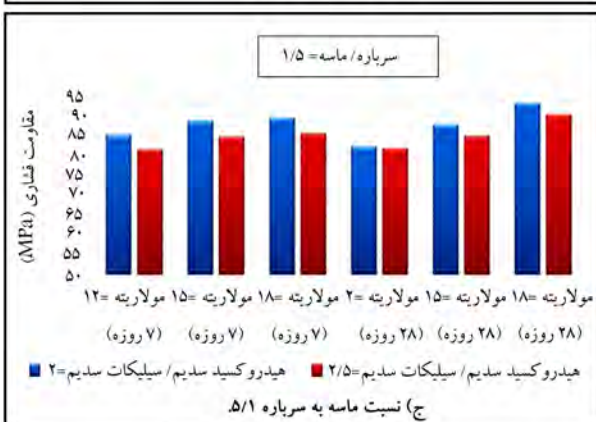
هیدروکسید سدیم / سلیکات سدیم

الف) نسبت سلیکات به هیدروکسید



هیدروکسید سدیم / سلیکات سدیم

ب) نسبت ماسه به سریاره

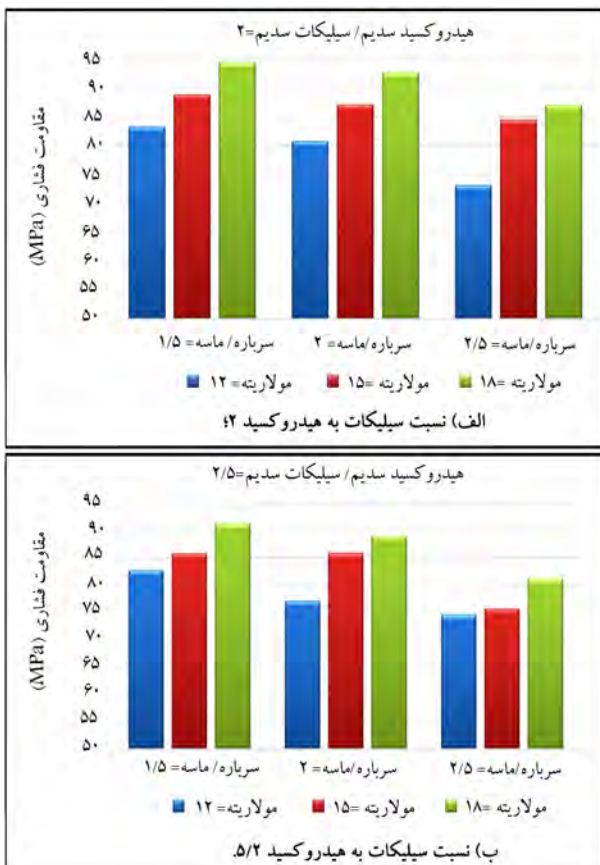


هیدروکسید سدیم / سلیکات سدیم

ج) نسبت ماسه به سریاره

شکل ۹. تأثیر نسبت سلیکات سدیم به هیدروکسید سدیم در مقاومت فشاری ۷ و ۲۸ روزه نمونه ها.

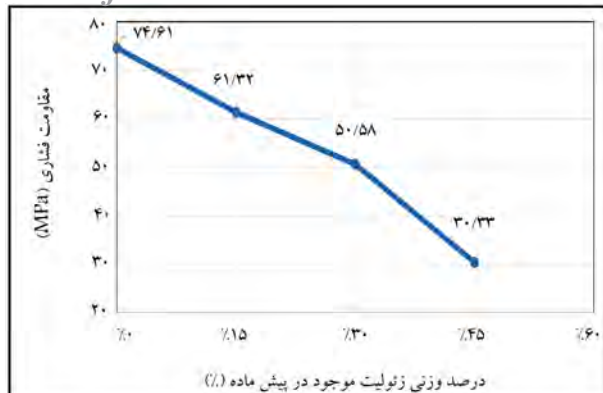
مخلوط می شود و از طرفی، سدیم نقشی مهم در شکل‌گیری ژوپلیمرها ایفا می‌کند و بونهای سدیم به عنوان بونهای متعادل‌کننده‌ی بار عمل می‌کنند. با وجود این، سلیکات‌سدیم اضافی، مانع از تبخر آب و تشکیل ساختار می‌شود؛ لذا با الارقتن نسبت سلیکات‌سدیم به هیدروکسید‌سدیم، مقاومت فشاری کاهش یافته است.<sup>[۲۲]</sup> تأثیر زمان در مقاومت فشاری نمونه‌ها در شکل ۱۰ مشاهده می‌شود. نمونه‌های ملات ژوپلیمری در همان سینین اولیه‌ی ۷ روزه، چیزی حدود ۹۰٪ مقاومت فشاری نهایی ۲۸ روزه‌ی خود را کسب کردند و با توجه به شکل ۱۰ مشاهده می‌شود که بیش از ۶۰٪ طرح اختلاط‌ها با گذشت زمان، رشد ۳ تا ۱۰ درصدی در مقاومت فشاری و بیش از ۲۰٪ طرح‌ها بدون رشد مقاومت و حدود ۱۶٪ طرح‌ها نیز کاهش مقاومت ناچیز ۳ تا ۵ درصدی داشته‌اند. مشخصه‌ی ذکر شده، بنابراین ژوپلیمری را تبدیل به یکی از گزینه‌های مناسب برای



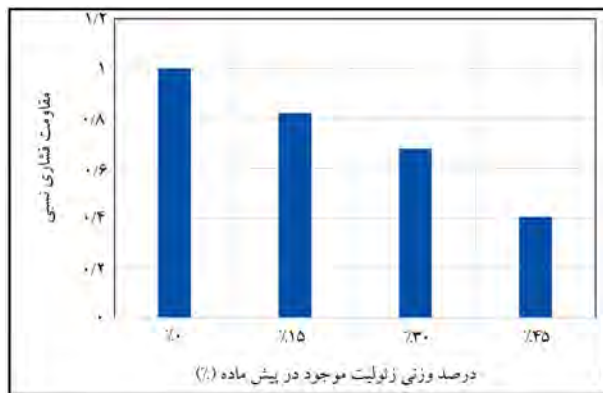
شکل ۸. نمودار بررسی تأثیر مولاریته‌ی هیدروکسید سدیم در مقاومت فشاری ۲۸ روزه‌ی نمونه‌های مکعبی در سه نسبت متقابل ماسه به سریاره.

در همه‌ی نسبت‌های ماسه به سریاره و در همه‌ی سینین، کم و بیش مشاهده می‌شود. این مورد در مطالعات برخی پژوهشگران نیز مشاهده شده است، که از جمله می‌توان به پژوهش دوکسان و همکارانش (۲۰۰۷)<sup>[۱۵]</sup> که از متابولولن به عنوان یک پیش‌ماده با منشأ طبیعی و از هیدروکسید‌سدیم و سلیکات‌سدیم نیز به عنوان محصول فعال ساز برای ساخت ژوپلیمر استفاده کرداند، اشاره کرد. در آزمایش‌های ایشان مشاهده می‌شود که با افزایش غلظت شاری نمونه‌ها در سن ۷ روزه افزایش یافته است. NaOH با غلظت بیشتر، توانایی حل‌الیت بالاتری داشته و کمک کرده است که ذرات پیش‌ماده به میزان بیشتری حل و اتصالی مؤثر بین مونومرها ایجاد شود، که منجر به افزایش مقاومت اتصال بین مولکولی در ژوپلیمر شده است.

رفتار دیگری که می‌توان به آن اشاره کرد، افزایش مولاریته در نمونه‌های با مقدار سریاره بیشتر (به ویژه در نسبت‌های ماسه به سریاره ۲ و ۱/۵) است، که تأثیر خود را در افزایش مقاومت، دیرتر و در سن ۲۸ روزه نشان داده است. تأثیر نسبت سلیکات‌سدیم به هیدروکسید‌سدیم در مقاومت ملات ژوپلیمری در شکل ۹ مشاهده می‌شود. با افزایش نسبت سلیکات‌سدیم به هیدروکسید‌سدیم از ۲ به ۲/۵ تا ۱/۵ در ۷ و ۲۸ روزه در همه‌ی نسبت‌های ماسه به سریاره و همه‌ی مولاریته‌ی هیدروکسید‌سدیم، کاهشی کمتر از ۱۰٪ در یک مورد خاص تا ۱۴٪ را تجربه کرده است. به طور کلی می‌توان نتیجه گرفت که اگر مقدار سلیکات‌سدیم از حد معینی تجاوز کند، تأثیر منفی در مقاومت فشاری ملات ژوپلیمری می‌گذارد. اساساً افزایش نسبت سلیکات‌سدیم به هیدروکسید‌سدیم، منجر به افزایش مقدار سدیم در



شکل ۱۲. نمودار تغییرات مقاومت فشاری با درصد وزنی زئولیت و سرباره.



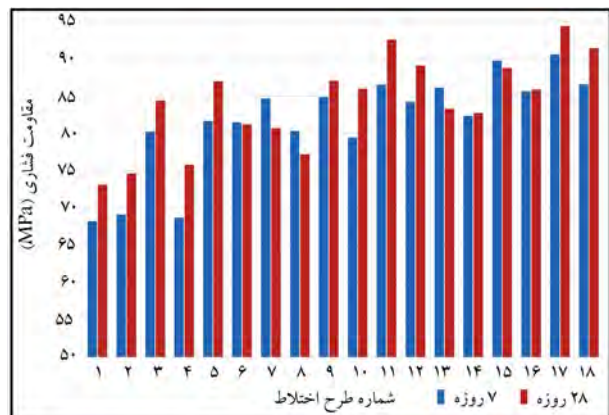
شکل ۱۳. تأثیر زئولیت در مقاومت فشاری نمونه‌های ژوپلیمری با پیش‌ماده‌ی ترکیبی زئولیت و سرباره.

پیش‌ماده در ساخت ژوپلیمرها توجه کرد. از طرفی، برخلاف سرباره و خاکستر بادی، زئولیت یک محصول وابسته به صنایع دیگر نیست و می‌توان به صورت طبیعی به آن دسترسی داشت. لذا طرح اختلاط ۲/۵ - ۱۲ - ۵/۲ S2/5 از گروه اول انتخاب شد و با جایگزین کردن ۱۵، ۳۰ و ۴۵ درصد وزنی از سرباره موجود در آن با زئولیت، به ترتیب سه طرح نمونه‌ی SZ15، SZ30 و SZ45 به دست آمدند که نتایج مقاومت فشاری متوسط آن‌ها در شکل ۱۳ مشاهده می‌شود.

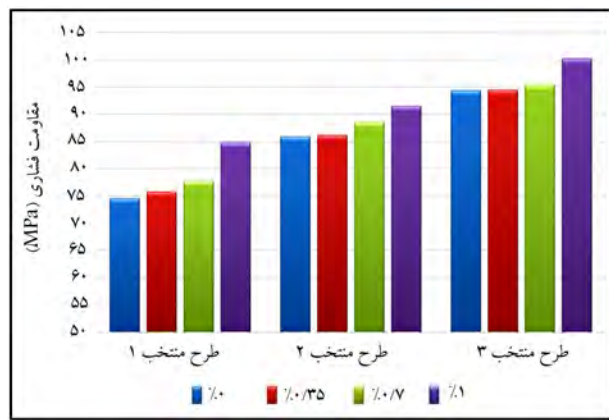
طرح SZ15 با ۱۵٪ زئولیت، افت مقاومت فشاری ۱۸ درصدی نسبت به طرح مبنیاً ۲/۵ - ۱۲ - ۵/۲ (S2/5) داشته و با بالارفتن درصد زئولیت در طرح‌های SZ30 و SZ45، به ترتیب میران کاهش مقاومت فشاری نسبت به طرح مبنی برابر با ۳۸٪ و ۵۹٪ شده است. همچنین با توجه به شکل ۱۲، شبیک کاهش مقاومت فشاری در بازه‌های ۰٪ الی ۱۵٪ و ۱۵٪ الی ۳۰٪، تقریباً یکسان بوده است؛ ولی پس از اینکه درصد زئولیت موجود در پیش‌ماده از ۳۰٪ تجاوز کرد، کاهش مقاومت فشاری با شبیک تندتری همراه بوده است. به طورکلی، نمونه‌های حاوی درصدی از زئولیت در پیش‌ماده‌ی خود، تا حدودی از لحاظ مقاومتی قابل قبول هستند و می‌توان با توجه به فراوانی معادن زئولیت موجود در کشور، ایده‌ی استفاده از پیش‌ماده‌ی ترکیبی برای ساخت بن ژوپلیمری را کاربردی دانست.

### ۲.۳. مدل گسیختگی

تغییرات مدل گسیختگی (مقاومت خمشی) در نمونه‌های گروه دوم، که حاوی الیاف امباس با درصد‌های حجمی ۳۵/۰٪، ۷/۰٪ و ۱٪ و گروه سوم که پیش‌ماده‌ی



شکل ۱۰. مقایسه‌ی مقاومت فشاری نمونه‌های ملات ژوپلیمری در سنتین ۷ و ۲۸ روزه.



شکل ۱۱. مقایسه‌ی مقاومت فشاری متوسط نمونه‌های ملات ژوپلیمری الیافی و بدون الیاف.

استفاده در پروژه‌هایی می‌کند که در آن‌ها محدودیت زمانی برای بهره‌برداری وجود دارد.

### ۲.۴. نتایج گروه دوم

سه طرح ۲/۵ - ۱۲ - ۱۵ (S2/5 - ۲/۵ - ۱۵) و ۷/۰ - ۷/۱ - ۱۸ (S1/۵ - ۷/۰ - ۱۸) از ۱۸ طرح اختلاط بررسی شده در گروه اول انتخاب و تأثیر افزودن الیاف امباس در سه درصد حجمی ۳۵٪ و ۱٪ به آن‌ها مطالعه شده است. تأثیر الیاف امباس در مقاومت فشاری ملات ژوپلیمری نمونه‌های گروه ۲ در شکل ۱۱ مشاهده می‌شود که مطابق آن مقاومت فشاری نمونه‌های مکعبی ملات ژوپلیمری در سن ۲۸ روزه با رشد همراه بوده است. نمودار تغییرات مقاومت فشاری با درصد وزنی زئولیت و سرباره در شکل ۱۲ مشاهده می‌شود.

با افزودن الیاف به میران ۳۵/۰٪ و ۱٪ درصد حجمی به ملات، مقاومت فشاری سه طرح اختلاط موجود، به ترتیب تا ۲، ۴ و ۱۴ درصد نسبت به نمونه‌ی بدون الیاف با افزایش همراه بوده است. بنا براین، درصد مناسب الیاف برای رسیدن به بیشترین رشد در مقاومت فشاری، ۱٪ حجمی است. همچنین تغییرات مقاومت فشاری در بازه‌ی ۷/۰٪ تا ۱٪ محسوس تراز تغییرات آن در بازه‌های ۰٪ تا ۳۵٪ و ۳۵٪ تا ۷/۰٪ است.

### ۲.۵. نتایج گروه سوم

از جهت فراوانی معادن زئولیت در کشورمان، می‌توان به استفاده از زئولیت به عنوان

## Archive of SID

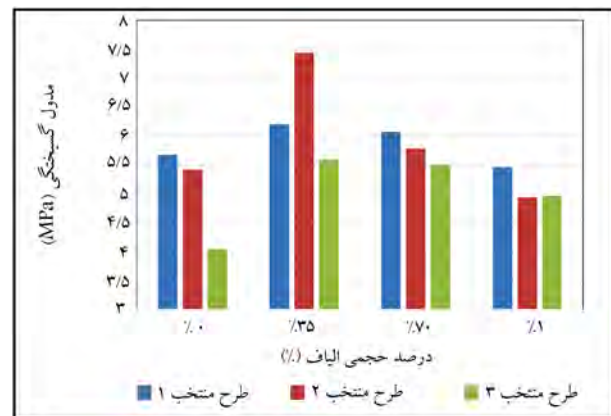
شیب مثبت شده و با تجاوز الیاف از مقدار مذکور، شیب نمودار منفی شده است، به طوری که اضافه کردن ۱٪ حجمی الیاف امیاس، در دو طرح اختلاط ۲ - ۱۸ - ۵/۱ و ۱۵ - ۵/۲، سبب کاهش مدول گسیختگی تا ۹٪ نسبت به نمونه بدون الیاف شده است. میزان افزایش مدول گسیختگی با افزودن ۳/۵٪ حجمی الیاف امیاس، بین ۹٪ تا ۳۸٪ نسبت به نمونه بدون الیاف متناظر و با افزودن ۷٪ میزان رشد مدول گسیختگی ملات، بین ۷٪ تا ۳۶٪ بوده است. بنابراین، مناسب‌ترین درصد حجمی الیاف امیاس برای اصلاح مدول گسیختگی ملات ژئوپلیمری، برابر با ۳/۵٪ حجمی است. یکی دیگر از آثار الیاف امیاس، تغییر در نحوه گسیختگی نمونه‌های تیر بود، به طوری که گسیختگی در نمونه‌های بدون الیاف، کاملاً به صورت ترد و ناگهانی صورت گرفت، ولی در نمونه‌های الیافی، حتی پس از بوجود آمدن ترک‌های اصلی در بدنی نمونه، با توجه به خاصیت بلزنی الیاف و همچنین چسبندگی مناسب بین الیاف و ملات ژئوپلیمری، نمونه‌ها همچنان استحکام نسبی داشتند و تا مدتی، الیاف از گسیختگی کامل و نصف شدن نمونه و جداسدن اجزاء آن از یکدیگر جلوگیری کردند. در مجموع استفاده از الیاف امیاس باعث بهبود نحوه شکست نمونه‌ها در آزمایش مدول گسیختگی شد و سبب انسجام بهتر و رفتار شکل‌پذیرتر و انعطاف‌پذیرتر و در نتیجه شکست نرم نمونه‌های ژئوپلیمری الیافی پس از ایجاد ترک شد.

در نمودار شکل ۱۵، روند کاهشی مدول گسیختگی نمونه‌های زوبلیت در مقایسه با نمونه‌های بدون زوبلیت مشاهده می‌شود و مشخص است که طرح‌های SZ<sup>۳۰</sup>، SZ<sup>۱۵</sup> و SZ<sup>۴۵</sup> به ترتیب با میزان ۱۵٪، ۳۰٪ و ۴۵٪ زوبلیت در پیش‌ماده‌ی خود، کاهش مدول گسیختگی ۲۹ و ۵۹ درصدی را تجربه کردند. با مقایسه‌ی مقاومت فشاری و مدول گسیختگی می‌توان متوجه شد که روند کاهش مدول گسیختگی، شباهت بسیاری به روند کاهش مقاومت فشاری دارد. همچنین مشاهده می‌شود که در بازه‌های ۰٪ الی ۱۵٪ و ۱۵٪ الی ۳۰٪، شیب یکسانی در کاهش مقاومت طی می‌شود، ولی پس از تجاوز از ۳۰٪، کاهش مقاومت با شیب تندتری صورت می‌پذیرد.

## ۴. نتیجه‌گیری

پارامترهای مقاومت فشاری و خمی (مدول گسیختگی) نمونه‌های متعدد ملات ژئوپلیمری با هدف بررسی تأثیر مواد سازنده و نسبت‌های آن‌ها، تأثیر الیاف امیاس و نیز تأثیر استفاده از پیش‌ماده‌ی ترکیبی (سرباره و زوبلیت) در آزمایشگاه اندازه‌گیری شده و این نتایج به دست آمده است:

- با کاهش نسبت ماسه به سرباره، رشد مقاومت فشاری در نمونه‌های ۷ و ۲۸ روزه به ترتیب در بازه‌های (۳٪ الی ۲۶٪) و (۳٪ الی ۱۴٪) مشاهده شد.
- با افزایش مولاریته‌ی هیدروکسید سدیم، رشد مقاومت فشاری در نمونه‌های ۷ و ۲۸ روزه تا ۲۰٪ مشاهده شد و بیشترین تأثیر پذیری را نمونه‌های با نسبت ماسه به سرباره ۵/۲ تجربه کردند.
- بیشترین میزان تأثیرگذاری نسبت سیلیکات‌سدیم به هیدروکسید سدیم در مقاومت فشاری نمونه‌های با نسبت ماسه به سرباره کمتر بوده است.
- با افزودن الیاف امیاس به ملات ژئوپلیمری، مقاومت فشاری نمونه‌های مکعبی رشد ۱۴ درصدی داشته‌اند.



شکل ۱۴. تغییرات مدول گسیختگی در طرح اختلاط‌های مناسب با درصد‌های الیاف.



شکل ۱۵. نمودار تأثیر مقدار زوبلیت موجود در پیش‌ماده در مدول گسیختگی نمونه‌های ژئوپلیمری با پیش‌ماده ترکیبی زوبلیت و سرباره.

آن‌ها ترکیبی از سرباره و زوبلیت بود، در شکل‌های ۱۴ و ۱۵ مشاهده می‌شوند که در آن‌ها مقایسه‌ی مدول گسیختگی نمونه‌های الیافی با نمونه‌های متناظر بدون الیاف آن‌ها صورت گرفته و تأثیر الیاف در مدول گسیختگی نمونه‌ها مشخص شده است. روند رشد مدول گسیختگی بر عکس روند رشد مقاومت فشاری و مدول گسیختگی به طوری که طرح ۲ - ۱۸ - ۵/۱ که بیشترین مقاومت فشاری در بین سه طرح منتخب را داشت، کمترین مدول گسیختگی و طرح ۲/۵ - ۱۲ - ۵/۲ با کمترین مقاومت فشاری، بیشترین مدول گسیختگی را داشتند. این رویه در نمونه‌های الیافی با سه درصد حجمی مقاومت الیاف نیز مشاهده شد که این موضوع خود می‌تواند دلیلی بر اتفاقی نبودن این رویه معکوس در مقاومت فشاری و مدول گسیختگی باشد. از آنجایی که سه طرح اشاره شده در پارامترهای مختلفی با یکدیگر تفاوت داشتند و مواد سازنده و نسبت‌های آن‌ها به کلی در سه طرح اخیر تفاوت بوده است، بنابراین نمی‌توان قطعاً نظر داد که کاهش اتفاق افتاده در مدول گسیختگی، تأثیر کدام پارامتر بوده است. از طرفی، به دلیل تبع و حجم زیاد مطالب و موضوعات بررسی شده در نوشتار حاضر، علت بروز روند معکوس اشاره شده در پژوهش حاضر مطالعه نشده و فقط به ارائه‌ی گزارشی از نتایج به دست آمده پرداخته شده است.

نتایج آزمایش‌ها نشان می‌دهد که الیاف امیاس سبب بالا رفتن مدول گسیختگی و بهبود عملکرد تیرهای ساخته شده از هر طرح در خمین شده است. همچنین افزودن الیاف تا ۳۵٪ حجمی، سبب افزایش مدول گسیختگی و تغییرات با

- مقاومت فشاری طرح‌های با مقادیر ۱۵، ۳۰ و ۴۵ درصد وزنی زوئیلت از پیش‌ماده، به ترتیب کاهشی به میزان ۱۸، ۳۲ و ۵۹ درصد داشتند. مدول گسیختگی سه طرح مذکور نیز به ترتیب به میزان ۱۵، ۲۹ و ۵۹ درصد کاهش داشت.

- با افزودن الیاف با ۳۵٪ حجمی، مدول گسیختگی در مقایسه با مقاومت فشاری، رشد بیشتری برایر ۳۸٪ داشت و با افزایش درصد الیاف و به دلیل گلوله شدن و در همتیله شدن الیاف و پخش ناهمگن آنها، درصد میزان افزایش کاهش یافت و به سقف ۹٪ رسید.

## منابع (References)

1. Suhendro, B. "Toward green concrete for better sustainable environment", *Procedia Engineering*, **95**, pp. 305-320 (2014).
2. Salloum, T. "Effect of fly ash replacement on alkali and sulphate resistance of mortars", PhD dissertation, Concordia University (2007).
3. Vickers, L., Riessen, A. and Rickard, W.D. "Fire-resistant geopolymers: Role of fibres and fillers to enhance thermal properties", Springer, Singapore (2015).
4. Mehta, P.K. and Meryman, H. "Tools for reducing carbon emissions due to cement consumption", *Structure Magazine*, **1**, pp.11-15 (2009).
5. Guo, X. and Pan, X. "Mechanical properties and mechanisms of fiber reinforced fly ash-steel slag based geopolymer mortar", *Construction and Building Materials*, **179**, pp. 633-641 (2018).
6. Davidovits, J. "Geopolymers: inorganic polymeric new materials", *Journal of Thermal Analysis and calorimetry*, **37**(8), pp. 1633-1656 (1991).
7. Barbosa, V.F., MacKenzie, K.J. and Thaumaturgo, C. "Synthesis and characterisation of materials based on inorganic polymers of alumina and silica: sodium polysialate polymers", *International Journal of Inorganic Materials*, **2**(4), pp. 309-317 (2000).
8. Zhuang, X.Y., Chen, L., Komarneni, S. and et al. "Fly ash-based geopolymer: Clean production, properties and applications", *Journal of Cleaner Production*, **125**, pp. 253-267 (2016).
9. ndez-Jimenez, A., Provis, J.L. & Duxson, P., Fern "Geopolymer technology: The current state of the art", *Journal of Materials Science*, **42**(9), pp. 2917-2933 (2007).
10. Davidovits, J. "Geopolymers: inorganic polymeric new materials", *Journal of Thermal Analysis and Calorimetry*, **37**(8), pp. 1633-1656 (1991).
11. Van Jaarsveld, J.G.S., Van Deventer, J.S.J. and Schwartzman, A. "The potential use of geopolymeric materials to immobilise toxic metals: Part II. Material and leaching characteristics", *Minerals Engineering*, **12**(1), pp. 75-91 (1999).
12. ASTM, "Standard specification for ground granulated blast-furnace slag for use in concrete and mortars", In ASTM (2003).
13. Lloyd, N. and Rangan, B. "Geopolymer concrete with fly ash", *Second Int. Conf. on Sustainable Constr. Mater. Technol.*, **3**, pp. 1493- 1504 (2010).
14. Comrie, D.C. and Kriven, W.M. "Composite cold ceramic geopolymer in a refractory application", In *Geopolymers Advances in Ceramic Matrix Composites IX*, Proceedings, pp. 211-225 (2004).
15. Weil, M., Dombrowski, K. and Buchwald, A. "Life-cycle analysis of geopolymers", In *Geopolymers*, Woodhead Publishing, pp. 194-210 (2009).
16. Li, Z., Ding, Z. and Zhang, Y. "Development of sustainable cementitious materials", In *Proceedings of International Workshop on Sustainable Development and Concrete Technology*, Beijing, China, pp. 55-76 (2004).
17. Zhang, Z.H., Zhu, H.J., Zhou, C.H. and et al. "Geopolymer from kaolin in China: an overview", *Applied Clay Science*, **119**(part 1), pp. 31-41 (2016).
18. Majidi, B. "Geopolymer technology, from fundamentals to advanced applications: A review", *Materials Technology*, **24**(2), pp. 79-87 (2009).
19. Hardjito, D., Wallah, S.E., Sumajouw, D.M. and et al. "On the development of fly ash-based geopolymer concrete", *Materials Journal*, **101**(6), pp. 467-472 (2004).
20. Bakharev, T. "Resistance of geopolymer materials to acid attack", *Cement and Concrete Research*, **35**(4), pp. 658-670 (2005).
21. Fernandez-Jimenez, A.M., Palomo, A. and Lopez-Hombrados, C. "Engineering properties of alkali-activated fly ash concrete", *ACI Materials Journal*, **103**(2), pp. 106-112 (2006).
22. Thakur, R.N. and Ghosh, S. "Effect of mix composition on compressive strength and microstructure of fly ash based geopolymer composites", *ARPN Journal of Engineering and Applied Sciences*, **4**(4), pp. 68-74 (2009).
23. Vora, P.R. and Dave, U.V. "Parametric studies on compressive strength of geopolymer concrete", *Procedia Engineering*, **51**, pp. 210-219 (2013).
24. Singh, B., Ishwarya, G., Gupta, M. and et al. "Geopolymer concrete: A review of some recent developments", *Construction and Building Materials*, **85**, pp. 78-90 (2015).
25. Duxson, P.S.W.M., Mallicoat S.W., Lukey G.C. and et al. "The effect of alkali and Si/Al ratio on the development of mechanical properties of metakaolin-based geopolymers", *Colloids and Surfaces A: Physicochemical and Engineering Aspects*, **292**(1), pp. 8-20 (2007).

26. Bondar, D., Lynsdale, C.J. and Milestone, N.B. "Geopolymer cement from alkali-activated natural pozzolans: Effect of addition of minerals", In *2nd International Conference On Sustainable Construction Materials and Politecnica delle Marche*, Ancona, Italia, pp. 28-30 (2010).
27. Bernal, S.A., Mejia de Gutierrez, R., Pedraza, A.L. and et al. "Effect of binder content on the performance of alkaliactivated slag concretes", *Cement and Concrete Research*, **41**(1), pp. 1-8 (2011).
28. Najimi, M. and Ghafoori, N. "Engineering properties of natural pozzolan/slag based alkali-activated concrete", *Construction and Building Materials*, **208**, pp. 46-62 (2019).
29. Nikolov, A., Rostovsky, I. and Nugteren, H. "Geopolymer materials based on natural zeolite", *Case Studies in Construction Materials*, **6**, pp. 198-205 (2017).
30. Ortega, E.A., Cheeseman, C., Knight, J. and et al. "Properties of alkali-activated clinoptilolite", *Cement and Concrete Research*, **30**(10), pp. 1641-1646 (2000).
31. Villa, C., Pecina, E.T., Torres, R. and et al. "Geopolymer synthesis using alkaline activation of natural zeolite", *Construction and Building Materials*, **24**(11), pp. 2084-2090
32. Zhang, Z.H., Yao, X., Zhu, H.J. and et al. "Preparation and mechanical properties of polypropylene fiber reinforced calcined kaolin-fly ash based geopolymer", *Journal of Central South University of Technology*, **16**, pp. 49-52 (2009).
33. Islam, A., Alengaram, U.J., Jumaat, M.Z. and et al. "Influence of steel fibers on the mechanical properties and impact resistance of lightweight geopolymer concrete", *Construction and Building Materials*, **152**, pp. 964-977 (2017).
34. Bhutta, A., Borges, P.H., Zanotti, C. and et al. "Flexural behavior of geopolymer composites reinforced with steel and polypropylene macro fibers", *Cement and Concrete Composites*, **80**, pp. 31-40 (2017).
35. Xu, F., Deng, X., Peng, C. and et al. "Mix design and flexural toughness of PVA fiber reinforced fly ash-geopolymer composites", *Construction and Building Materials*, **150**, pp. 179-189 (2017).
36. Dalvand, M.H. "Experimental and statistical Investigation of strength characteristics of Geopolymer Mortars", MS Thesis, Faculty of Civil Engineering, Semnan University (2019).
37. Noushini, A., Hastings, M., Castel, A. and et al. "Mechanical and flexural performance of synthetic fibre reinforced geopolymer concrete", *Construction and Building Materials*, **186**, pp. 454-475 (2018).
38. Nam, J., Kim, G., Lee, B. and et al. "Frost resistance of polyvinyl alcohol fiber and polypropylene fiber reinforced cementitious composites under freeze thaw cycling", *Composites Part B: Engineering*, **90**, pp. 241-250 (2016).
39. Guo, X. and Pan, X. "Mechanical properties and mechanisms of fiber reinforced fly ash-steel slag based geopolymer mortar", *Construction and Building Materials*, **179**, pp. 633-641 (2018).
40. Ruan, M.H. and Liu, H.W. "Mechanical properties of basalt fiber-reinforced concrete", *Highway Eng*, **42**, pp. 275-282 (in Chinese) (2017).
41. Zhu, Y. and Ma, Q.Y. "Experiment research on compressive and tensile strength of nano-SiO<sub>2</sub> concrete with basalt fiber", *Sci. Tech. Eng*, **16**, pp. 240-243 (in Chinese) (2016).
42. Reed, M., Lokuge, W. and Karunasena W. "Fibre-reinforced geopolymer concrete with ambient curing for in situ applications", *Journal of Materials Science*, **49**(12), pp. 4297-4304 (2014).
43. Morsy, M.S., Alsayed, S.H., Al-Salloum, Y. and et al. "Effect of sodium silicate to sodium hydroxide ratios on strength and microstructure of fly ash geopolymer binder", *Arabian journal for Science and Engineering* **39**(6), pp. 4333-4339 (2014).